

revista

ELETRÔNICA

16

JULHO / AGOSTO 1966

Cr\$ 650

NESTE NÚMERO

RECEPTOR DE
COMUNICAÇÃO

ELETROLA
PORTÁTIL

“SUPER-BANDA”

PROJETO DE UM
TRANSFORMADOR
DE FÔRÇA



RECEPTOR DE COMUNICAÇÕES

para rádio-amador

KENJI MATSUDA

Esc. Politécnica da U.S.P.

INTRODUÇÃO

Neste artigo apresentamos um receptor de telecomunicação projetado para cobrir as faixas de 80, 40, 20, 15 e 10 m, destinadas a rádio-amadores.

A sua construção simples e o uso de componentes comuns são alguns dos cuidados tomados no projeto, para que o rádio-amador possa construir-lo utilizando técnicas e recursos convencionais.

1 — CIRCUITO

O receptor é um superheterodino de dupla conversão. A primeira FI é de 4.600 KHz e destina-se a melhorar a rejeição das interferências de frequência imagem. A segunda FI (455 KHz) garante a seletividade adequada.

O receptor emprega 9 válvulas e suas funções (Fig. 1) são as seguintes:

- V₁ EF 183 Amplificador de R. F.
- V₂ ECH 81 1.º Misturador — 1.º oscilador local.
- V₃ ECH 81 2.º Misturador — 2.º oscilador local
- V₄ EF 93 1.º Amplificador de F.I. (455 KHz)
- V₅ EF 93 2.º Amplificador de F.I. (455 KHz)
- V₆ EBC 91 Detetor e 1.º amplificador de áudio
- V₇ EAA 91 Limitador de ruído e silenciador
- V₈ EL 84 Amplificador de saída (áudio)
- V₉ EBC 91 Oscilador de batimento.

O circuito de grade do estágio de RF e da 1.ª osciladora local são sintonizados, e a variação de frequência é feita por um capacitor variável de seção dupla. O circuito de placa do amplificador de RF é de sintonia fixa e faixa larga.

O primeiro oscilador local trabalha com frequência acima da de RF e a primeira misturadora (V₂) fornece um sinal de 4.600 KHz, frequência da primeira FI.

O segundo oscilador local trabalha com frequência de 455 KHz acima da primeira FI e é de freqüência fixa. Para garantir a estabilidade, o segundo oscilador local é controlado a cristal e sua freqüência é de 5055 KHz.

Faixa	limite inferior	limite superior
80 m	3.500 KHz	4.000 KHz
40 m	7.000 KHz	7.300 KHz
20 m	14.000 KHz	14.350 KHz
15 m	21.000 KHz	21.450 KHz
10 m	28.000 KHz	29.700 KHz

Faixas destinadas ao rádio-amador

limite inferior receptor	limite superior receptor
3.300 KHz	4.100 KHz
6.850 KHz	7.550 KHz
13.800 KHz	14.600 KHz
20.800 KHz	21.600 KHz
27.800 KHz	29.800 KHz

Bandas de freqüência do receptor

O sinal da segunda FI-455 KHz é amplificado e detetado. O detector utilizado é do tipo convencional a diodo e a tensão negativa proveniente da deteção da onda portadora atua como C.A.G. nas grades dos amplificadores de FI e na segunda misturadora. O amplificador de RF é controlado manualmente. Além disso, essa tensão negativa, fornecida pelo detector é aplicada através de filtro, ao catodo do limitador de ruído. O anodo desse limitador é ligado a um divisor de tensão sobre a carga do detector de modo que a tensão de anodo é cerca de 70% da tensão negativa do catodo. Desta ma-

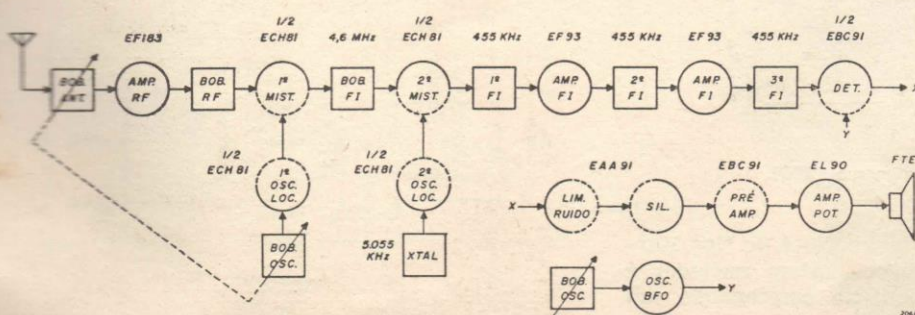


FIG. 1

Diagrama de blocos do receptor para amador.

neira, o anodo fica positivo com relação ao catodo e o diodo conduz, aparecendo o sinal de áudio sobre o seu catodo. Os picos de ruído que excedem o nível de modulação tornam a placa negativa com respeito ao catodo e são bloqueados.

O sinal de áudio do catodo assim obtido, é acoplado por um capacitor ao catodo da silenciadora. A silenciadora é polarizada positivamente com uma tensão que varia com a intensidade do sinal. Esta tensão polarizadora é retirada da grade auxiliar do segundo amplificador de F.I., controlado pelo CAG e é determinada pela drenagem de corrente pelo resistor redutor da tensão de +B.

O catodo da silenciadora é também polarizado positivamente. Esta polarização é fixa e ajustada inicialmente para que, quando não haja sinal, o catodo fique mais positivo que a placa. Nesta condição o diodo não conduz ficando o áudio bloqueado.

Quando há sinal de intensidade suficiente o CAG começa a atuar; a grade da válvula da segunda amplificadora de F.I. torna-se mais negativa, consequentemente a drenagem de corrente pelo resistor da grade auxiliar diminui tornando a placa da silenciadora mais positiva que o catodo e o diodo começa a conduzir, aparecendo na placa o sinal de áudio que é então amplificado pelo primeiro amplificador de áudio e finalmente pelo amplificador de saída de áudio.

Oscilador de Batimento

Para receber sinais transmitidos em C.W., usa-se o oscilador de batimento (B.F.O.) fig. 2.

Esse oscilador deve ter boa estabilidade e freqüência ligeiramente superior ou inferior à freqüência da 2a. F.I.

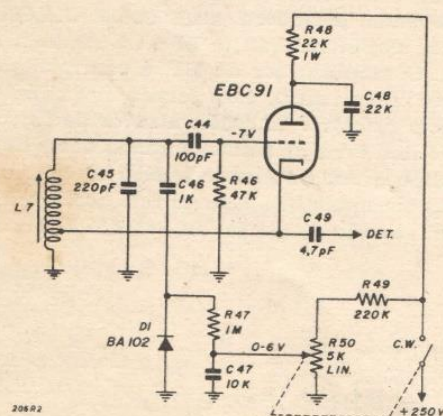


FIG. 2
Oscilador de Batimento (B.F.O.).

O oscilador utilizado no modelo é do tipo Hartley. A variação da freqüência desse oscilador é feita por um circuito moderno empregando um diodo varicap (BA 102).

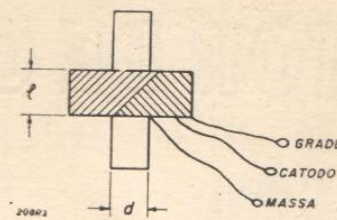


FIG. 3

Bobina do oscilador de batimento (L_7):
N = 240 espiras; Fio 7 × 44 Litz (AWG) — Derivação: 80ª espira a partir da massa ($l=7$ mm — $d=7,4$ mm) bobinado "Honey Comb" (enrolado com máquina "Progresso" tipo HT e relação de engrenagens 8/15).

Construção

A construção do receptor não requer técnicas especiais, podendo o rádio-amador executá-la com recursos convencionais, exceto cuidados que devem ser tomados nos estágios de R.F., primeiro oscilador local e primeira misturadora, para evitar perdas exageradas e oscilações parasitas que podem resultar de ligações mal feitas ou má disposição de componentes. As ligações devem ser as mais curtas possíveis, procurando-se evitar acoplamentos que possam causar com isso realimentações indesejadas.

A comutação das bobinas poderá ser feita por chave de onda — 7 pólos 5 posições; por caixa de bobinas, ou ainda, por meio de tambor. Este último sistema que é o melhor, requer construção mecânica complicada; as dificuldades na sua construção fazem com que seu emprêgo seja pouco usual.

No modelo construído, a comutação de bobinas foi feita pelo sistema de caixa de bobinas, devido à construção mais simples, dispensando o uso de chaves especiais, que não são facilmente encontráveis em nosso mercado pelo amador.

O primeiro amplificador de R.F. e a primeira misturadora devem ser montados de tal forma que as ligações sejam as mais curtas possíveis e estejam dispostas de tal maneira que as bobinas sejam facilmente acessíveis. Para isso recomenda-se que o amador faça um estudo prévio para cada disposição de componentes que venha a adotar.

Bobinas

No modelo, conforme visto na pág. seguinte, usamos caixas de bobinas independentes para cada faixa e facilmente adaptáveis ao circuito por sistema modular de encaixe mecânico ("plug-in"), conforme sugerido pela Fig. 4.

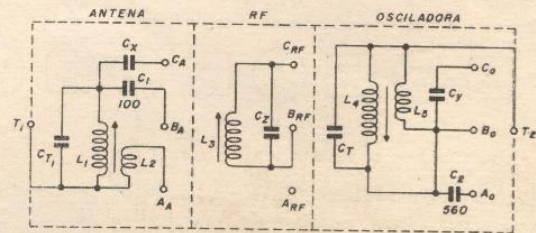


FIG. 4

Caixa de bobinas.

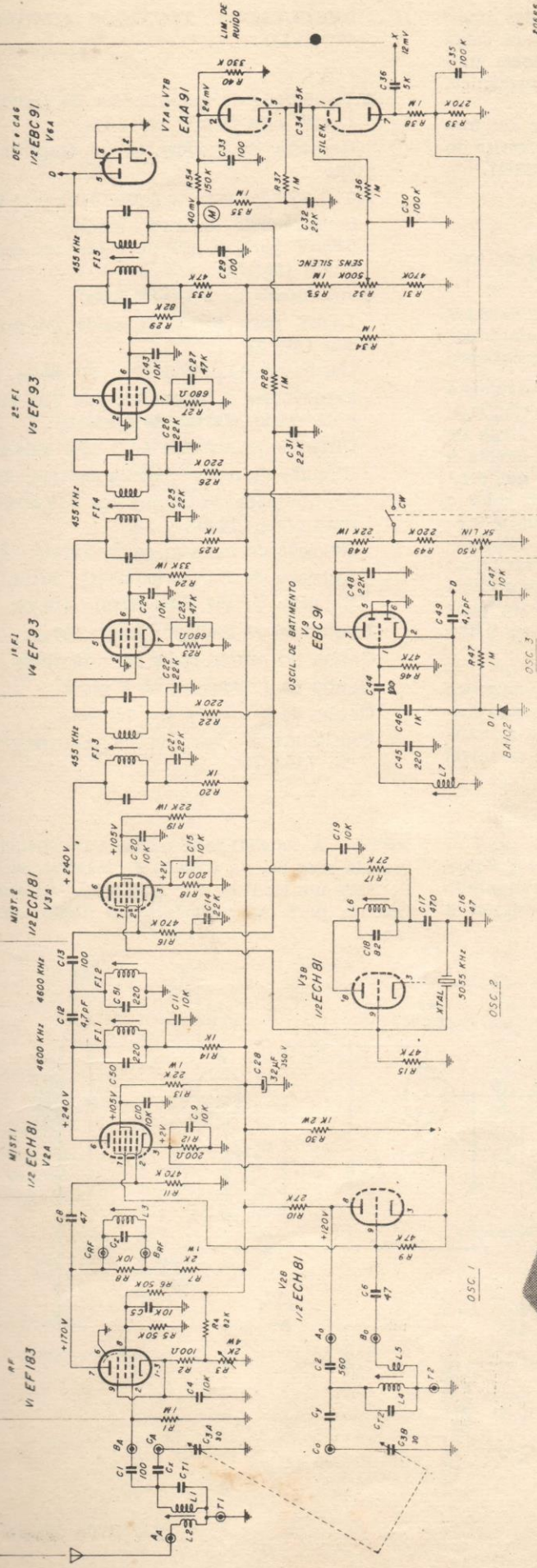
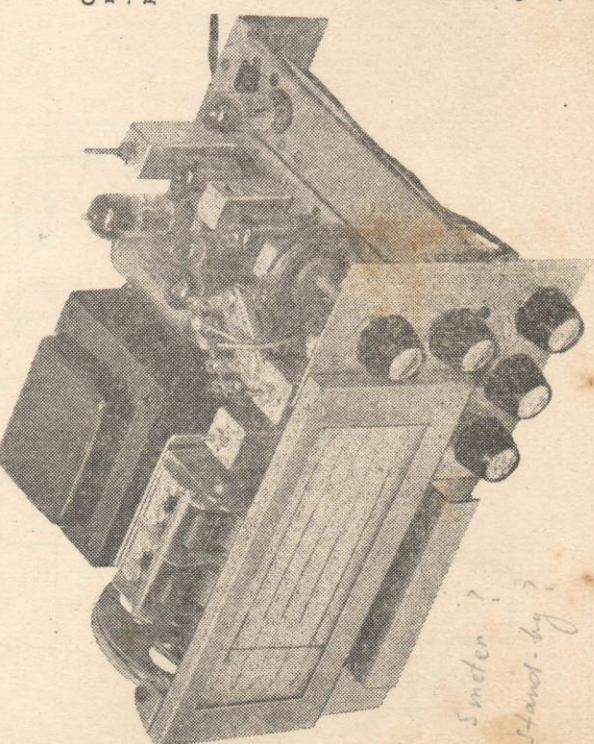


FIG. 5
Circuito esquemático do
receptor para rádio-
amplificador, excluindo a
parte de audição-ampli-
ficação.



1) Ligar em 5 metros
2) Hand-key

FIG. 6
O protótipo do recep-
tor completo.

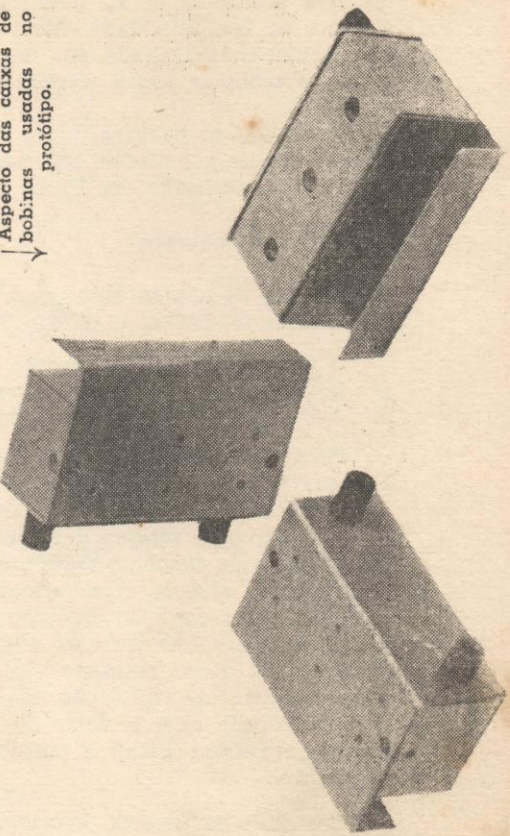


FIG. 7
Aspecto das caixas de
bobinas usadas no
protótipo.

Nos pontos T_1 e T_2 foram empregados pinos banana de boa qualidade. Além disso, cada caixa foi devidamente fechada por uma blindagem metálica, obtendo-se assim elevada rigidez mecânica.

OBS.: Todas as bobinas foram enroladas em forma de polietileno, com núcleo de ferrite do tipo utilizado em FI de TV (44 MHz).

Fonte de alimentação

A fonte de alimentação é um dobrador de tensão utilizando diodos de silício BY 114.

O transformador Tr_1 fornece a tensão de 6,3 V aos filamentos das válvulas e ainda serve para isolar o chassi do receptor da rede de alimentação.

Para assegurar baixo nível de ondulação ("ripple") faz-se necessário o filtro RC (R_{52} , C_{42}). Por outro lado, o uso de tal filtro numa fonte de alimentação nem sempre é aconselhável, devido à participação de elemento dissipativo (R_{52}) que consome energia elétrica transformando-a em calor o que ocasiona a elevação da temperatura do aparelho. Entretanto esse sistema é de custo relativamente baixo e seu emprêgo torna-se vantajoso quando o nível de ondulação não é de importância absoluta. Neste caso o valor do resistor R_{52} pode ser relativamente baixo e portanto tem-se baixa dissipação.

Baseando-se nessas considerações, o emprêgo de uma fonte de alimentação do tipo acima descrito em receptores de comunicação torna-se vantajoso devido ao baixo custo envolvido e ao nível de ondulação perfeitamente tolerável.

Amplicador de áudio

Para manter boa inteligibilidade sonora, a resposta de freqüência do amplificador foi limitada em 250 Hz — 3.500 Hz para — 3 dB, em relação a 1 W de saída, pelo capacitor C_{40} .

II — RESULTADOS TÉCNICOS OBTIDOS NO MÓDULO

Sensibilidade do amplificador de áudio:

12 mV para 50 mW em $3,2 \Omega$.

Resposta de freqüência do amplificador de áudio:

250 — 3.500 Hz para — 3 dB (0 dB = 1 W).

Sensibilidade do diodo detetor:

520 mV para 40 mV de saída no detetor de áudio (pto M).

Sensibilidade da F.I. (455 KHz):

1,4 mV para 40 mV de saída no detetor de áudio (pto M)

Ganho de F.I. (455 KHz): 370 vezes.

Freqüências de operação: 3,5; 7,0; 14,0; 21,0; e 28,0 MHz (faixas de amador).

Círculo de Antena: 50Ω não balanceado.

Círculo de saída (bobina móvel): $3,2 \Omega$.

Sensibilidade de antena em 7,15 MHz: $0,8 \mu\text{V}$ para $s/r = 10 \text{ dB}$.

Rejeição de imagem em 7,15 MHz: 40 dB.

Rejeição de F.I. (4.600 KHz): 20 dB.

Rejeição de F.I. (455 KHz): 110 dB.

Injeção do 1º oscilador local: $200 \mu\text{A}$

Ganho do Amplificador RF: 10 vezes

Ganho da 1ª conversora, 3 vezes.

Ganho da 2ª conversora, 15 vezes.

Sensibilidade máxima do silenciador: $1,0 \mu\text{V}$ em 7,15 MHz.

NOTA: A sensibilidade máxima do silenciador foi medida com R_{52} na posição de máxima sensibilidade, para um sinal de RF (7,15 MHz) na antena suficiente para aparecimento de áudio no alto-falante.

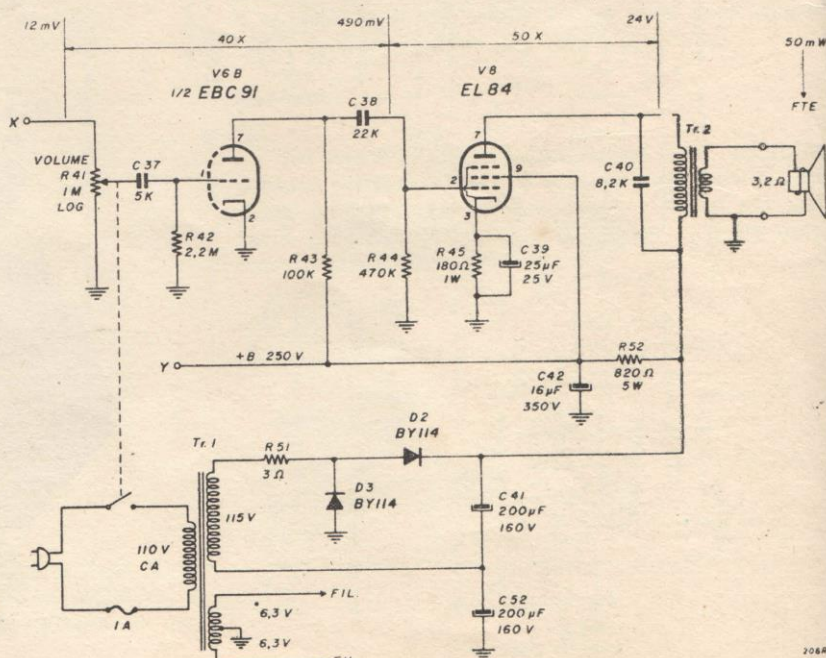


FIG. 8

A parte amplificadora de áudio.

L I S T A D E M A T E R I A I S

R ₁	carvão	1 KΩ	1/2 W	10%	C ₄	"	tubular	"	47 pF
R ₂	"	100 Ω	"	"	C ₈	"	tubular	"	47 pF
R ₃	potenc. lin.	2 KΩ	4 W	fio	C ₉	"	"pin-up"	"	10 KpF
R ₄	carvão	82 KΩ	1/2 W	"	C ₁₀	"	"	"	10 KpF
R ₅	"	50 KΩ	"	"	C ₁₁	"	"	"	10 KpF
R ₆	"	50 KΩ	"	"	C ₁₂	"	tubular	"	4.7 pF
R ₇	"	2 KΩ	1 W	"	C ₁₃	"	"	"	100 pF
R ₈	"	10 KΩ	1/2 W	"	C ₁₄	poliéster	400 V	22 KpF	
R ₉	"	47 KΩ	"	"	C ₁₅	cerâmica "pin-up"	"	10 KpF	
R ₁₀	"	27 KΩ	"	"	C ₁₆	"	tubular	"	47 pF
R ₁₁	"	470 KΩ	"	"	C ₁₇	"	"	"	470 pF
R ₁₂	"	200 Ω	"	"	C ₁₈	styroflex	500 V	82 pF	
R ₁₃	"	22 KΩ	1 W	"	C ₁₉	cerâmica "pin-up"	400 V	10 KpF	
R ₁₄	"	1 KΩ	1/2 W	"	C ₂₀	"	"	"	10 KpF
R ₁₅	"	47 KΩ	"	"	C ₂₁	poliéster	"	22 KpF	
R ₁₆	"	470 KΩ	"	"	C ₂₂	"	"	"	22 KpF
R ₁₇	"	27 KΩ	"	"	C ₂₃	"	"	"	47 KpF
R ₁₈	"	200 Ω	"	"	C ₂₄	cerâmica "pin-up"	500 V	10 KpF	
R ₁₉	"	22 KΩ	1 W	"	C ₂₅	poliéster	400 V	22 KpF	
R ₂₀	"	1 KΩ	1/2 W	"	C ₂₆	"	"	"	22 KpF
R ₂₁	"	220 KΩ	1/2 W	"	C ₂₇	"	"	"	47 KpF
R ₂₂	"	680 Ω	"	"	C ₂₈	eletrolítico	350 V	32 μF	
R ₂₃	"	33 KΩ	1 W	"	C ₂₉	cer. tubular	500 V	100 pF	
R ₂₄	"	1 KΩ	1/2 W	"	C ₃₀	poliéster	"	100 KpF	
R ₂₅	"	220 KΩ	"	"	C ₃₁	"	400 V	22 KpF	
R ₂₆	"	680 Ω	"	"	C ₃₂	"	"	22 KpF	
R ₂₇	"	1 MΩ	"	"	C ₂₉	cer. tubular	"	100 KpF	
R ₂₈	"	82 KΩ	"	"	C ₃₄	poliéster	"	5 KpF	
R ₂₉	"	1 KΩ	2 W	"	C ₃₅	"	"	100 KpF	
R ₃₀	"	470 KΩ	1/2 W	"	C ₃₆	"	"	5 KpF	
R ₃₁	potenc. lin.	500 KΩ	"	"	C ₃₇	"	"	5 KpF	
R ₃₂	carvão	47 KΩ	"	"	C ₃₈	"	"	22 KpF	
R ₃₃	"	1 MΩ	"	"	C ₃₉	eletrolítico	25 V	25 μF	
R ₃₄	"	1 MΩ	"	"	C ₄₀	cer. tubular	400 V	8,2 KpF	
R ₃₅	"	1 MΩ	"	"	C ₄₁	eletrolítico	160 V	200 μF	
R ₃₆	"	1 MΩ	"	"	C ₄₂	"	360 V	16 μF	
R ₃₇	"	1 MΩ	"	"	C ₄₃	cer. "pin-up"	500 V	10 KpF	
R ₃₈	"	1 MΩ	"	"	C ₄₄	" tubular	"	100 pF	
R ₃₉	"	270 KΩ	"	"	C ₄₅	styroflex	"	220 pF	
R ₄₀	"	330 KΩ	"	"	C ₄₆	cer. tubular	"	1 KpF	
R ₄₁	potenc. log. c/ chave	1 MΩ	"	"	C ₄₇	poliéster	400 V	10 KpF	
R ₄₂	carvão	2,2 MΩ	"	"	C ₄₈	"	"	22 KpF	
R ₄₃	"	100 KΩ	"	"	C ₄₉	cer. tubular	500 V	4,7 pF	
R ₄₄	"	470 KΩ	"	"	C _x	styroflex	vide tabela no texto		
R ₄₅	"	180 Ω	1 W	"	C _y	"	"	"	
R ₄₆	"	47 KΩ	1/2 W	"	C _z	"	"	"	
R ₄₇	"	1 MΩ	"	"	C _{T1} e C _{T2}	"	"	"	
R ₄₈	"	22 KΩ	1 W	"	C ₅₀	"	500 V	220 pF	
R ₄₉	"	220 KΩ	1/2 W	"	C ₅₁	"	"	220 pF	
R ₅₀	potenc. lin. c/ chave	5 KΩ	1 W	"	C ₅₂	eletrolítico	160 V	200 μF	
R ₅₁	"	3 Ω	1 W	"					
R ₅₂	fio	820 Ω	5 W	"					
R ₅₃	carvão	1 MΩ	1/2 W	"					
R ₅₄	"	150 KΩ	"	"					

CAPACITORES

C ₁	cerâmica tubular	500 V	100 pF	V ₁	GEH7	EF183
C ₂	"	"	560 pF	V _{2AB}	6AN8	ECH81
C ₃	variável	2 × (380 + 30)	pF	V _{3AB}		ECH81
	(DOUGLAS BO 5010) — V. nota			V ₄	6BA6	EF93
C ₄	cerâmica "pin-up"	500 V	10 KpF	V ₅		EF93
C ₅	"	"	10 KpF	V _{6AB}	6AV6	EBC91
				V _{7AB}	6AL5	EAA91
				V ₈	6BQ5	EL84
				V ₉		EBC91

Nota — Do capacitor variável indicado são usados sómente as secções de 30 pF.

Diversos

- ✓ $F_{I_1} - F_{I_2}$ conforme indicação no texto
 ✓ $F_{I_3} - F_{I_5}$ 455 KHz Douglas BO1526
 ✓ T_{r_1} transformador de força Willkason 6158
 ✓ T_{r_2} transformador de saída 5 K Ω ; 3,2 Ω .
 ✓ XTAL cristal de quartzo 5055 KHz RCB HC6-U
 ✓ FTE Alto-falante 5" 3 W
 ✓ D_1 Diodo Varicap BA102

D_2	Diodo silício BY114		
D_3	Diodo silício BY114		
Fusível	1 A		
L_1	— conforme indicação no texto		
L_2	—	—	—
L_3	—	—	—
L_4	—	—	—
L_5	—	—	—
L_6	—	—	—
L_7	—	—	—

RADIOFREQÜÊNCIA
 L_3

Compr. onda (m)	N.º ESP.	Fio n.º (AWG)	Tipo de fio	Passo do Enr.	L com núcleo (μ H)	Q_o L_3	Obs.	C_z pF
80	40	20x44	Litz	*	18,9	120	vér fig. E	100
✗ 40	30	30	Capa sêda	Juntas	8,3	120	vér fig. B	47
✗ 20	17	27	Esmal.	Juntas	2,45	90	vér fig. B	47
✗ 15	9	27	Esmal.	ϕ 27	0,66	150	vér fig. B	100
✗ 10	6	18	Prata	ϕ 18	0,22	160	vér fig. B	120

* Bobinado "HONEY COMB" (enrolado com máquina "Progresso" tipo HT e relação de engrenagem 8/15).

ANTENA

L_1										L_2				
Compr. onda (m)	n.º Esp.	Fio n.º (AWG)	Tipo de fio	Passo do Enrol.	L com núcleo (μ H)	Q_o	C_{T_1} pF	C_x pF	n.º Esp.	Fio N.º (AWG)	Tipo de fio	Observações		
80	50	20x44	Litz	*	20	110	56	0	44	36	capa sêda	ver fig. D		
✗ 40	30	30	capa sêda	Juntas	8,3	120	47	33	3	36	capa sêda	ver fig. A		
✗ 20	17	27	Esm.	ϕ 27	1,46	120	68	33	2	36	capa sêda	ver fig. A		
✗ 15	9	20	Prata	ϕ 20	0,49	150	82	33	3	36	capa sêda	ver fig. A		
✗ 10	6	18	Prata	ϕ 18	0,22	150	100	68	2	36	capa sêda	ver fig. A		

F.I. ₁ , F.I. ₂ (F.I. 4600 KHz)					2.º OSCILADOR (L ₆)				
N.º Esp.	Fio N.º (AWG)	Tipo de fio	Passo do Enrol.	OBS.:	N.º Esp.	Fio N.º (AWG)	Tipo de fio	Passo do Enrol.	OBS.:
30	20x44	Litz	Juntas	vér fig. B	30	27	Esmalt.	Juntas	vér fig. B

1.º OSCILADOR

L ₄								L ₅							
Compr. onda (m)	n.º esp.	Fio n.º (AWG)	Tipo de fio	Passo do Enrol.	L com núcleo (μ H)	Q ₀ L ₄	C _{T2} pF	C _y pF	n.º esp.	Fio n.º (AWG)	Tipo fio	Passo Enrol.	Obs.		
80	20	30	capa sêda	Junta	3,9	100	68	68	20	36	capa sêda	*	vér fig. C		
40	25	27	capa sêda	Junta	2,9	115	47	22	16	36	capa sêda	*	vér fig. C		
20	9	27	Esm.	ϕ 27	0,66	150	82	33	5	36	capa sêda	Junta	vér fig. C		
15	5	20	Prata	ϕ 20	0,25	155	120	22	5	36	capa sêda	Junta	vér fig. C		
10	5	18	Prata	ϕ 18	0,19	160	100	68	5	30	capa sêda	Junta	vér fig. C		

* Bobinado "HONEY COMB"

OBS.: Q₀ é o valor do Q em vazio.

MEDIÇÕES DE SENSIBILIDADE. SAIDA NO DETETOR 40 mV (Ponto M).
MODULAÇÃO 1000 Hz, 30%.

KHz	Na entrada de antena	Imagem	Sensibilidade em μ V						s/r em dB (ponto M)	Ganho vêzes			Rejeição (dB)			Oscilador Lccal μ V			
			na grade							Bob. ant.	Est. RF		Conv.		Imagem	F.I.			
			4600 kHz	455 kHz	R.F.	1°	2°	1°			2°	1°	2°	4600 kHz		455 kHz			
3.750	0,6	100	3	100 $\times 10^3$	2,4	24	72	10	4	10	3	15	50	21	110	110	$\cong 200$		
7.150	0,8	60	6	200 $\times 10^3$	3,2	32	96	10	4	10	3	15	40	20	110	110	$\cong 200$		
14.200	1,3	100	25	"	5,2	52	156	10	4	10	3	15	40	30	120	120	$\cong 200$		
21.200	2,5	25	25	"	10	100	200	10	4	10	2	15	20	22	120	120	$\cong 200$		
29.000	3,8	65	21	200 $\times 10^3$	15,2	152	304	10	4	8,3	2	15	19	10	120	120	$\cong 200$		

Sensibilidade máxima do silenciador 1,0 μ V em 7,15 MHz.

NOTA: Sensibilidade máxima do silenciador foi medida com R₃₂ na posição de máxima sensibilidade para um sinal de RF na antena suficiente para abertura total de áudio.

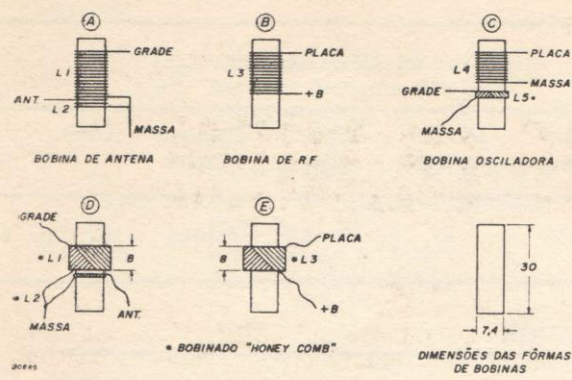


FIG. 9

Tipos de bobinas usadas no receptor.

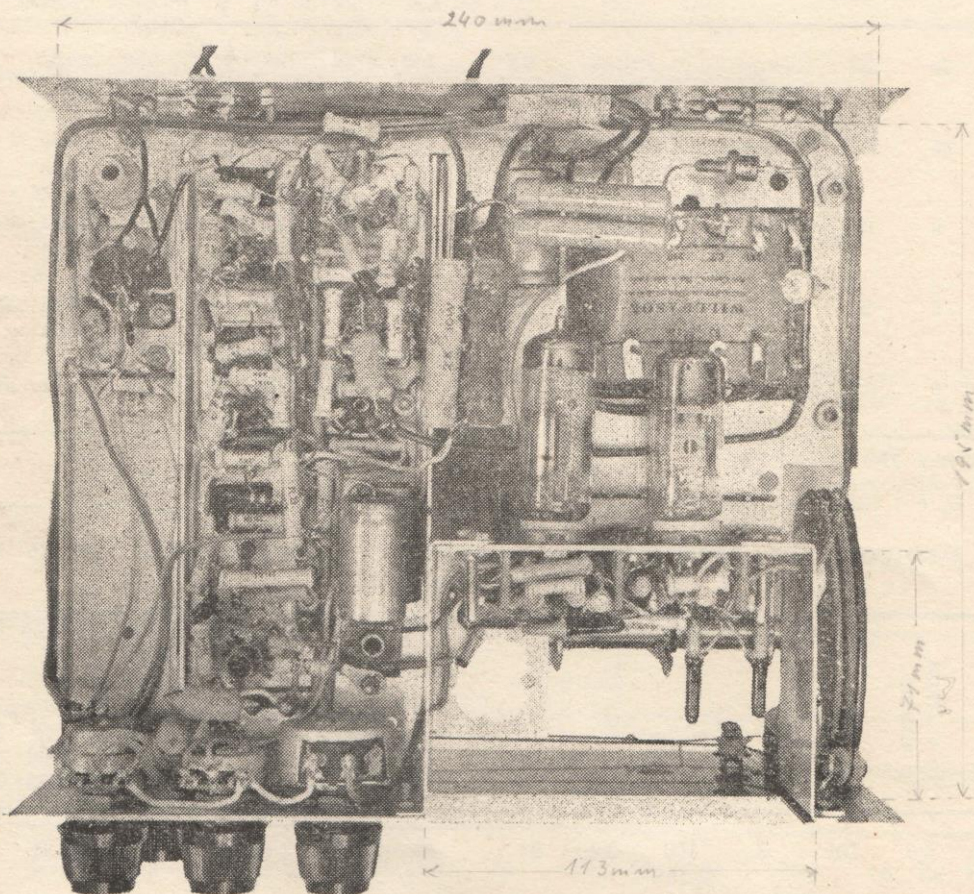


FIG. 10

Aspecto da montagem, em baixo do chassi.